

УДК 532.517.4

## О численном моделировании заглужения турбулентного слоя в устойчиво стратифицированной жидкости\*

О.Ф. Васильев<sup>1</sup>, Т.Э. Овчинникова<sup>1,3</sup>, Г.Г. Черных<sup>2,3</sup>

<sup>1</sup>Институт водных и экологических проблем СО РАН, Новосибирск

<sup>2</sup>Институт вычислительных технологий СО РАН, Новосибирск

<sup>3</sup>Новосибирский государственный университет

E-mail: teonew@iwer.nsc.ru

Для описания процессов вертикального турбулентного обмена в устойчиво стратифицированном водоеме рассмотрены усовершенствованные численные модели, основанные на алгебраических представлениях рейнольдсовых напряжений и потоков и использовании дифференциального уравнения переноса дисперсии флуктуаций вертикальной компоненты скорости. Выполнено численное моделирование заглужения турбулентного слоя перемешанной жидкости в линейно стратифицированной среде под действием постоянного касательного напряжения. Результаты расчетов хорошо согласуются с известными экспериментальными данными и свидетельствуют о существенном влиянии анизотропии течения на его основные характеристики.

**Ключевые слова:** математическое моделирование, турбулентность, анизотропия турбулентного обмена.

### 1. Обзор исследований

Математическому моделированию вертикального турбулентного обмена в устойчиво стратифицированных средах посвящено большое число работ (например, [1–23]). Как видно из этих публикаций, к настоящему времени построена иерархия математических моделей, включающая полуэмпирические модели второго порядка замыкания. Широкое распространение получили классическая  $\epsilon$ - $\epsilon$  модель турбулентности и ее модификации с алгебраическими представлениями рейнольдсовых напряжений и потоков.

Интересным примером течения, в котором определяющую роль играет вертикальный турбулентный обмен, является течение, возникающее при заглужении турбулизованного слоя жидкости в линейно стратифицированной среде под ветровым воздействием на поверхность водоема. Его изучению также посвящено много работ [8, 17, 20, 24]. Задача представляет интерес и в связи с исследованием процесса формирования верхнего квазигомогенного слоя океана [2, 3, 5, 6, 15–18, 22, 23, 25, 26].

Анализ публикаций в области математического моделирования процесса заглужения показывает, что исследования не охватывают некоторые важные особенности рассматриваемого течения. В частности, мало внимания уделяется анизотропии турбулентного перемешивания.

\* Работа выполнена при финансовой поддержке Междисциплинарного интеграционного проекта СО РАН № 132.

В настоящей работе анизотропия оценивается путем анализа поведения [10] компоненты тензора анизотропии  $a_{33} = \langle w'^2 \rangle / e - 2/3$  (здесь  $\langle w'^2 \rangle$  — дисперсия флуктуаций вертикальной компоненты скорости,  $e$  — энергия турбулентности). В изотропном случае  $a_{33} = 0$ ; в случае изучаемого течения наблюдается существенное отклонение отношения  $\langle w'^2 \rangle / e$  от изотропного значения, равного  $2/3$ . Для описания процесса заглупления перемешанного слоя в стратифицированной жидкости рассмотрена иерархия усовершенствованных математических моделей второго порядка. С целью более детального описания вертикального турбулентного обмена в ряде рассмотренных моделей привлекается дифференциальное уравнение переноса дисперсии флуктуаций вертикальной компоненты скорости. Результаты расчетов хорошо согласуются с известными экспериментальными данными работы [24]. Дана количественная оценка анизотропии и ее влияния на процесс вертикального турбулентного обмена.

## 2. Математические модели

При исследовании процесса заглупления турбулентного слоя (как и ряда других гидрофизических процессов в устойчиво стратифицированном водоеме) делаются упрощения, в результате которых осредненное горизонтально однородное движение описывается системой дифференциальных уравнений:

$$\frac{\partial U}{\partial t} = \frac{\partial}{\partial z} \left[ \nu \frac{\partial U}{\partial z} - \langle u' w' \rangle \right], \quad (1)$$

$$\frac{\partial S}{\partial t} = \frac{\partial}{\partial z} \left[ \chi \frac{\partial S}{\partial z} - \langle S' w' \rangle \right]. \quad (2)$$

Здесь  $U$  — горизонтальная компонента осредненной скорости движения,  $S$  — осредненная соленость,  $\nu$  и  $\chi$  — коэффициенты молекулярной вязкости и диффузии,  $\langle u' w' \rangle$  — касательное рейнольдсово напряжение,  $\langle S' w' \rangle$  — вертикальная компонента вектора потоков (штрихами обозначены пульсационные составляющие),  $z$  — вертикальная координата,  $t$  — время. Зависимость осредненной плотности жидкости  $\rho$  от солености задается линейным соотношением  $\rho(S) = \rho_0 + \alpha S$ . В силу линейности уравнения состояния  $\rho' = \alpha S'$ . Система уравнений (1)–(2) незамкнута. Для ее замыкания привлекается иерархия математических моделей второго порядка.

**Модель 1** (классическая  $e$ - $\varepsilon$  модель турбулентности) включает в себя уравнения баланса энергии турбулентности и скорости ее диссипации (см., например, [7, 10]):

$$\frac{\partial e}{\partial t} = \frac{\partial}{\partial z} (K_{ez} \frac{\partial e}{\partial z}) + P + G - \varepsilon, \quad (3)$$

$$\frac{\partial \varepsilon}{\partial t} = \frac{\partial}{\partial z} (K_{\varepsilon z} \frac{\partial \varepsilon}{\partial z}) + C_{\varepsilon 1} \frac{\varepsilon}{e} (P + G) - C_{\varepsilon 2} \frac{\varepsilon^2}{e}, \quad (4)$$

где  $P = -\langle u' w' \rangle (\partial U / \partial z)$ ,  $G = -(g / \rho_0) \langle w' \rho' \rangle$ ,  $C_{\varepsilon 2} = 1,92(1 - 0,3 \exp(-\text{Re}_t^2))$ ,  $\text{Re}_t = e^2 / (\nu \varepsilon)$ ,  $K_{ez} = \nu + \nu_t$ ,  $\nu_t = c_\mu (e^2 / \varepsilon)$ ,  $K_{\varepsilon z} = \nu + \alpha_\varepsilon \nu_t$ . Для корреляционных моментов  $\langle u' w' \rangle$  и  $\langle w' \rho' \rangle$  используются упрощенные градиентные представления:  $-\langle u' w' \rangle =$

$= \nu_t (\partial U / \partial z)$ ,  $-\langle w' \rho' \rangle = -\alpha \langle w' s' \rangle = c_\rho \nu_t (\partial \rho / \partial z)$ . Значения эмпирических констант  $C_{\varepsilon 1}$ ,  $c_\mu$ ,  $\alpha_\varepsilon$ ,  $c_\rho$  приведены ниже.

**Модель 2.1.** С целью более детального описания механизма вертикального турбулентного перемешивания в неоднородной по плотности жидкости уравнение баланса энергии турбулентности расщепляется на две части и вместе с тем привлекается дифференциальное уравнение переноса дисперсии турбулентных флуктуаций вертикальной компоненты скорости  $\langle w'^2 \rangle$  [7, 10]:

$$\frac{\partial \langle w'^2 \rangle}{\partial t} = \frac{\partial}{\partial z} \left[ K_{\varepsilon z} \frac{\partial \langle w'^2 \rangle}{\partial z} \right] + 2 \left( 1 - \frac{2}{3} C_2 \right) G - \varepsilon \left[ C_1 \frac{\langle w'^2 \rangle}{e} + \frac{2}{3} (1 - C_1) \right] + \frac{2}{3} C_2 P. \quad (5)$$

Подобный прием представляется весьма эффективным при моделировании широкого класса турбулентных течений в устойчиво стратифицированных жидкостях, так как в таких течениях турбулентные флуктуации вертикальной компоненты скорости в большей мере в сравнении с горизонтальными подвержены воздействию силы плавучести.

Величины  $\langle u' w' \rangle$  и  $\langle w' \rho' \rangle$  в данной модели определяются следующим образом [7, 10]:

$$-\langle u' w' \rangle = (1 - C_2) \frac{e \langle w'^2 \rangle - \frac{(1 - C_{2T}) g}{C_{1T}} \frac{e^2}{\rho_0 \varepsilon^2} \langle w' \rho' \rangle}{C_1 \varepsilon \left( 1 - \frac{1 - C_2}{C_1 C_{1T}} \frac{g}{\rho_0} \frac{e^2}{\varepsilon^2} \frac{\partial \rho}{\partial z} \right)} \frac{\partial U}{\partial z} \equiv K_{uz} \frac{\partial U}{\partial z}, \quad (6)$$

$$-\langle w' \rho' \rangle = \frac{e \langle w'^2 \rangle}{C_{1T} \varepsilon \left( 1 - 2 \frac{1 - C_{2T}}{C_{1T} C_T} \frac{g}{\rho_0} \frac{e^2}{\varepsilon^2} \frac{\partial \rho}{\partial z} \right)} \frac{\partial \rho}{\partial z} \equiv K_{\rho z} \frac{\partial \rho}{\partial z}. \quad (7)$$

В уравнениях (3), (4), (5) полагается

$$K_{\varepsilon z} = \nu + \frac{C_S e \langle w'^2 \rangle}{\varepsilon}, \quad K_{\varepsilon z} = \nu + \alpha_\varepsilon \frac{C_S e \langle w'^2 \rangle}{\varepsilon}.$$

**Модель 2.2** отличается от предыдущей введением демпфирующей функции  $f$ , позволяющей учесть подавление турбулентных флуктуаций вертикальной компоненты скорости поверхностью жидкости [10, 11, 20]:

$$\frac{\partial \langle w'^2 \rangle}{\partial t} = \frac{\partial}{\partial z} \left[ K_{\varepsilon z} \frac{\partial \langle w'^2 \rangle}{\partial z} \right] + 2 \left( 1 - \frac{2}{3} C_2 \right) G - \varepsilon \left[ \left( C_1 + 2C_1' f \right) \frac{\langle w'^2 \rangle}{e} + \frac{2}{3} (1 - C_1) \right] + \frac{2}{3} C_2 (1 - 2C_2' f) P, \quad (8)$$

$$f = C_f \frac{e^{3/2}}{\varepsilon} \left[ H - z + 0,04 \frac{e_{\text{Surf}}^{3/2}}{\varepsilon_{\text{Surf}}} \right]^{-1}, \quad (9)$$

где  $e_{\text{Surf}}$  и  $\varepsilon_{\text{Surf}}$  — значения энергии турбулентности и скорости диссипации на поверхности жидкости. Величины  $\langle u'w' \rangle$  и  $\langle w'\rho' \rangle$  в этой модели аппроксимируются следующим образом [10, 11, 20]:

$$-\langle u'w' \rangle = \frac{\left[1 - C_2 \left(1 - \frac{3}{2} C_2' f\right)\right] \left[ e \langle w'^2 \rangle + \frac{(1 - C_{2T}) e^2}{C_{1T} \varepsilon} G \right]}{\left( C_1 + \frac{3}{2} C_1' f \right) \varepsilon \left[ 1 - C_2 \left(1 - \frac{3}{2} C_2' f\right) \right]} \frac{\partial U}{\partial z} \equiv K_{uz} \frac{\partial U}{\partial z}, \quad (10)$$

$$-\langle w'\rho' \rangle = \frac{e \langle w'^2 \rangle}{(C_{1T} + C_{1T}' f) \varepsilon + [1 - C_{2T} (1 - C_{2T}' f)] \left[ 2 \frac{g}{\rho_0} R \frac{e^2}{\varepsilon} \left( -\frac{\partial \rho}{\partial z} \right) \right]} \frac{\partial \rho}{\partial z} \equiv K_{\rho z} \frac{\partial \rho}{\partial z}. \quad (11)$$

Рассматриваемая математическая модель турбулентного перемешивания (усовершенствованная модель) отличается от примененной Зиновьевым и Яковенко [20] введением дифференциального уравнения (8). Отметим, что авторы работы [20] не уделили, на наш взгляд, должного внимания анализу анизотропии и ее влиянию на процесс перемешивания.

**Модель 3.1.** К уравнениям (1–4) добавляется алгебраическое соотношение для корреляционного момента  $\langle w'^2 \rangle$ , являющееся следствием усечения соответствующего дифференциального уравнения переноса [12]

$$\langle w'^2 \rangle = \frac{2}{3} e + \frac{e}{C_1 \varepsilon} \left[ (1 - C_3) \left( G_{33} - \frac{2}{3} G \right) - (1 - C_2) \frac{2}{3} P \right], \quad (12)$$

где  $G_{33} = -2(g/\rho_0)\langle w'\rho' \rangle$ , величины  $\langle u'w' \rangle$  и  $\langle w'\rho' \rangle$  вычисляются по формулам (6), (7) соответственно.

**Модель 3.2** отличается от модели 2.2 применением вместо уравнения (8) алгебраического представления — следствия его усечения

$$\langle w'^2 \rangle = \frac{2}{3} e \left\{ 1 - \frac{2C_1' f \varepsilon + [1 - C_2 (1 - 2C_2' f)] (P - 2G)}{(C_1 + 2C_1' f) \varepsilon + P + G - \varepsilon} \right\}, \quad (13)$$

корреляции  $\langle u'w' \rangle$  и  $\langle w'\rho' \rangle$  вычисляются по формулам (10), (11) соответственно. Уравнения модели 3.2 аналогичны принятым в работе [20], но, как увидим в дальнейшем, отличаются в постановке начально-краевой задачи.

Структура математических моделей 2.1, 3.1 обусловлена опытом авторов в области численного моделирования анизотропного вырождения безымппульсных турбулентных следов в линейно стратифицированной среде [27, 28].

Приведенные выше формулы и уравнения содержат ряд эмпирических констант, значения которых являются в достаточной степени общепринятыми:

$C_{\varepsilon 1} = 1,44$ ,  $\alpha_\varepsilon = 0,6$ ,  $c_\mu = 0,09$ ,  $C_1 = 2,2$ ,  $C_2 = C_3 = 0,55$ ,  $c_\rho = 0,8$ ,  $C_S = 0,25$ ,  $C_T = 1,25$ ,  $C_{1T} = 3,2$ ,  $C_{2T} = 0,5$ ,  $C_1' = 0,5$ ,  $C_2' = 0,3$ . Постановку начально-краевой задачи рассмотрим

на примере моделей 2.1 и 2.2. Граничные условия для систем уравнений (1)–(4), (5) и (1)–(4), (8) ставятся следующим образом.

На дне ( $z = 0$ ):

$$K_{uz}(\partial U/\partial z) = k_b U|U|, \quad S = S_b, \quad \partial e/\partial z = 0, \quad \varepsilon = c_\varepsilon (e^{3/2}/l_b), \quad \partial \langle w'^2 \rangle / \partial z = 0;$$

на поверхности ( $z = H$ ):

$$K_{uz}(\partial U/\partial z) = \tau_w / \rho, \quad \partial S/\partial z = 0, \quad \varepsilon = c_\varepsilon (e^{3/2}/l_s).$$

Для энергии турбулентности использовалось два различных условия:

$$\frac{\partial e}{\partial z} = k_\tau \left( \frac{|\tau_w|}{\rho} \right)^{3/2}, \quad (14)$$

$$e = \frac{\tau_w}{\rho \sqrt{c_\mu}}. \quad (15)$$

В модели 2.1 при  $z = H$  величина  $\langle w'^2 \rangle$  задается формулой (12), а в модели 2.2 — соотношением (13). Здесь  $\tau_w$  — касательное напряжение, обусловленное ветровой нагрузкой,  $l_s$  и  $l_b$  — масштабы шероховатости при  $z = H$  и  $z = 0$  соответственно. Эмпирические константы:  $k_b = 0,014$ ,  $k_\tau = 2,5$ ,  $c_\varepsilon = 0,314$  (см., например, [13]).

В начальный момент времени задавались следующие условия:  $U = 0$ , распределение  $S$  соответствовало линейному распределению плотности по вертикали (см. ниже),  $v_t = 0$ ,  $e = 0$ ,  $\langle w'^2 \rangle = 0$ ,  $\varepsilon = 0$ . При этом встречающиеся в уравнениях математических моделей соотношения  $e^2/\varepsilon$ ,  $e \langle w'^2 \rangle / \varepsilon$ ,  $e^2/\varepsilon^2$  подвергались регуляризации вида:  $e^2/[\varepsilon + \delta \varepsilon(t, H)]$ ,  $e \langle w'^2 \rangle / [\varepsilon + \delta \varepsilon(t, H)]$ ,  $e^2/[\varepsilon + \delta \varepsilon(t, H)]^2$ ,  $\delta \in [10^{-6}, 10^{-3}]$ ,  $e(0, H) = \tau_w / (\rho(0, H) \sqrt{c_\mu})$ ,  $\varepsilon(0, H) = c_\varepsilon e(0, H)^{3/2} / l_s$ .

### 3. Численный алгоритм

Для численного решения начально-краевой задачи с использованием описанных здесь моделей применялся неявный конечно-разностный алгоритм с итерациями по нелинейностям, основанный на интегро-интерполяционном методе [29]. Разностную аппроксимацию продемонстрируем на уравнениях (3), (4):

$$\frac{e_i - e_i^{t-1}}{\tau} + \frac{1}{hz} \left[ \left( K_{ez} \frac{\partial e}{\partial z} \right)_{i-1} - \left( K_{ez} \frac{\partial e}{\partial z} \right)_i \right] = P_i + G_i - \varepsilon_i, \quad (16)$$

$$\frac{\varepsilon_i - \varepsilon_i^{t-1}}{\tau} + \frac{1}{hz} \left[ \left( K_{\varepsilon z} \frac{\partial \varepsilon}{\partial z} \right)_{i-1} - \left( K_{\varepsilon z} \frac{\partial \varepsilon}{\partial z} \right)_i \right] + \left( \frac{C_{\varepsilon 1} \varepsilon_i^{t-1}}{e_i^t} \right) \varepsilon_i = C_{\varepsilon 2} (P_i + G_i) \frac{\varepsilon_i^{t-1}}{e_i^t}, \quad (17)$$

где  $\tau$ ,  $hz$  — шаги разностной сетки по времени и пространственной переменной  $z$ ; верхний индекс  $t - 1$  означает, что значение берется с предыдущего временного шага.

Во внутренних точках области для каждой из переменных имеем ( $\varphi = e, \varepsilon$ ):

$$\left(K_{\varphi} \frac{\partial \varphi}{\partial z}\right)_{i-1} - \left(K_{\varphi} \frac{\partial \varphi}{\partial z}\right)_i = \frac{1}{hz} \left[ (R_1 + R_2) \varphi_i - R_1 \varphi_{i-1} - R_2 \varphi_{i+1} \right],$$

$$R_1 = K_{\alpha i-1/2} \equiv 0,5(K_{\varphi i} + K_{\varphi i-1}), \quad R_2 = K_{\varphi i+1/2} \equiv 0,5(K_{\varphi i+1} + K_{\varphi i}), \quad \left(\frac{\partial \varphi}{\partial z}\right)_i = \frac{\varphi_{i+1} - \varphi_i}{hz}.$$

На нижней границе ставится условие  $(K_{ez} \partial e / \partial z)_1 = 0$ , а  $\varepsilon_1$  вычисляется через  $e_1$ .

На верхней границе для энергии турбулентности ставится условие  $(K_{ez} \partial e / \partial z)_n = k_{\tau} (|\tau_W| / \rho_n)^{3/2}$ , либо используется явное выражение энергии турбулентности через касательное напряжение; скорость диссипации вычисляется через  $e_n$  ( $n$  — число узлов сетки по координате  $z$ ).

Алгоритм решения задачи сводится к последовательному численному интегрированию уравнений математической модели. Значения  $\tau$ ,  $hz$  выбирались в ходе численных экспериментов. Полученные системы алгебраических уравнений для каждой из переменных решались методом прогонки с использованием итераций по нелинейности.

#### 4. Результаты численных экспериментов

В дальнейшем для простоты изложения будем использовать следующие обозначения для численных моделей с учетом выбора краевых условий для энергии турбулентности  $e$  на свободной поверхности:

- БМ<sub>1</sub> — классическая  $e$ - $\varepsilon$  модель с краевым условием (14);
- БМ<sub>2</sub> — классическая  $e$ - $\varepsilon$  модель с краевым условием (15).

Остальные модели, базирующиеся на модели БМ<sub>2</sub>, обозначим  $M_{ij}$ . Использование в качестве исходной модели БМ<sub>2</sub> выбрано из соображений согласованности вида краевого условия для  $e$  и  $\langle w'^2 \rangle$  в том смысле, что в обоих случаях используется краевое условие Дирихле, к тому же аналог краевого условия (15) для  $\langle w'^2 \rangle$  нам не известен.

С применением построенных численных моделей выполнены расчеты течения в канале глубиной  $H = 0,3$  м, обусловленного действием постоянного касательного напряжения на поверхности жидкости, в соответствии с данными лабораторного эксперимента [24].

Для вертикального распределения плотности и значения касательного напряжения на свободной поверхности рассмотрены два варианта условий:

- I.  $\partial \rho / \partial z = 192 \text{ кг/м}^4$ ,  $\tau_W = 0,0995 \text{ кг/(м} \cdot \text{с}^2)$ ;
- II.  $\partial \rho / \partial z = 384 \text{ кг/м}^4$ ,  $\tau_W = 0,212 \text{ кг/(м} \cdot \text{с}^2)$ .

Расчеты выполнялись на последовательности равномерных сеток с числом узлов от 100 до 800, шаг по времени варьировался от 5 до 1 с.

В работе [17] рассмотрен вариант течения, полученного переносом результатов лабораторных экспериментов [24] на морские условия с глубиной расчетной области  $H = 40$  м. При этом, согласно оценкам авторов [17], параметры течения принимали следующие значения:

- III.  $\partial \rho / \partial z = 0,01 \text{ кг/м}^4$ ,  $\tau_W = 0,1 \text{ кг/(м} \cdot \text{с}^2)$ .

Расчеты также выполнялись на последовательности равномерных сеток с числом узлов от 100 до 400, шаг по времени варьировался от 30 до 120 с. Во всех вариантах начальное значение плотности на поверхности жидкости было одинаково:  $\rho^* = 10^3 \text{ кг/м}^3$ .

Главное внимание при анализе результатов численных экспериментов уделялось динамике заглубления перемешанного слоя и анизотропии характеристик турбулентного обмена (отношение  $\langle w'^2 \rangle / e$ ), а также вертикальным распределениям основных переменных задачи: скорости  $U$ , энергии турбулентности  $e$ , скорости диссипации  $\varepsilon$ , коэффициентов вертикального турбулентного обмена  $\nu_t$ ,  $K_{uz}$ ,  $K_{\rho z}$ . Анализ результатов коснется в основном эксперимента [24] с условиями II, поскольку результаты расчетов для условий I приводят к аналогичным выводам.

Прежде всего, были сопоставлены результаты расчетов по классическим моделям БМ<sub>1</sub> и БМ<sub>2</sub> с двумя вариантами условий на свободной поверхности. Как видно из рис. 1, краевое условие сказывается только вблизи поверхности, причем условие (15) приводит к заметному (примерно в 2 раза) уменьшению значений  $e$  и  $\varepsilon$ . Величины изменяются одновременно и это практически не сказывается на вертикальном распределении остальных параметров течения ( $\nu_t$ ,  $U$ ,  $\rho$ ).

Сравнение результатов расчетов по двум дифференциальным моделям (M<sub>21</sub> и M<sub>22</sub>) и одной алгебраической (M<sub>32</sub>) показало (рис. 2.), что вертикальные распределения полей скорости и плотности практически не отличаются в трех расчетах. В распределениях  $e$ ,  $\varepsilon$  и  $\nu_t$  имеются слабые отличия между M<sub>21</sub> и M<sub>22</sub>, а M<sub>22</sub> и M<sub>32</sub> дают практически совпадающие результаты. Распределения корреляционного момента  $\langle w'^2 \rangle$  заметно отличаются в приповерхностной области в трех расчетах, особенно если сравнивать между собой

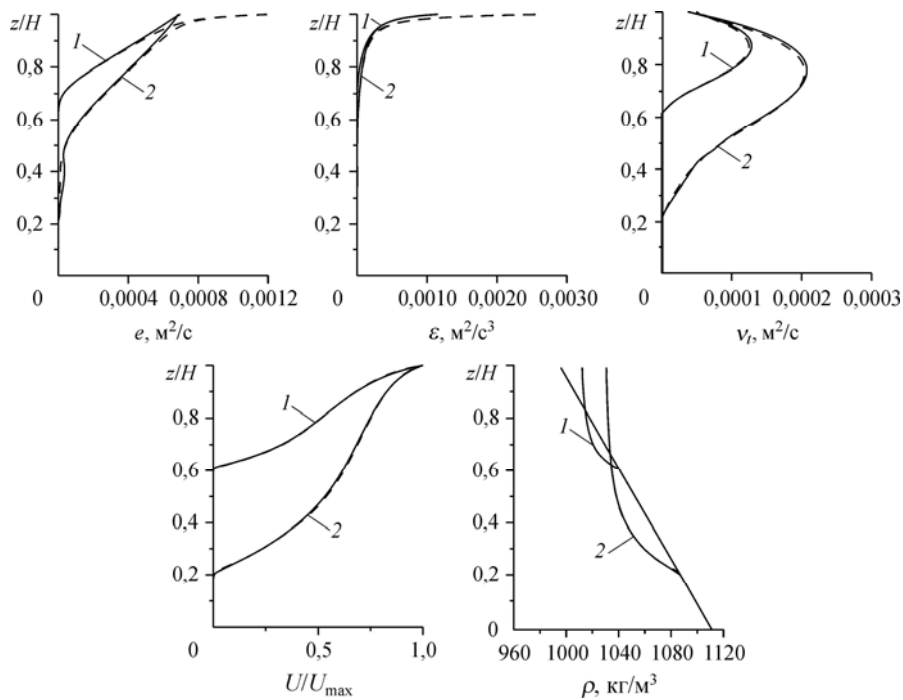


Рис. 1. Вертикальные распределения основных параметров на два момента времени, рассчитанные по классической  $e$ - $\varepsilon$  модели с разными условиями на поверхности.

БМ<sub>1</sub> — пунктирная линия, БМ<sub>2</sub> — сплошная линия; 60 (1), 240 (2) с.

модели с использованием демпфирующей функции и без нее. Можно видеть, что величина дисперсии турбулентных флуктуаций вертикальной компоненты скорости значительно убывает к поверхности жидкости вследствие демпфирования вертикальных пульсаций скорости. Анизотропия турбулентного перемешивания характеризуется распределением по глубине в зависимости от времени величины  $\langle w'^2 \rangle / e$ . Обращает на себя внимание тот факт, что в значительной части области турбулентного смешения (а при использовании демпфирующей функции – во всей области) отношение  $\langle w'^2 \rangle / e$  существенно меньше величины 2/3. Наиболее ярко выраженную анизотропию дает модель 3.2. Видно, что соответствующие дифференциальные и алгебраические модели  $\langle w'^2 \rangle$  дают близкие (но не совпадающие) результаты. К сожалению, экспериментальные данные о поведении величин  $\langle w'^2 \rangle$  и  $e$  нам не известны. Отметим, что в работе [28] рассматривалась задача об анизотропном вырождении безымпурсного турбулентного следа в линейно стратифицированной среде. В этой задаче имеются детальные экспериментальные данные о вырождении нормальных компонент тензора реинольдсовых напряжений  $\langle u'^2 \rangle$  и  $\langle w'^2 \rangle$ . При исследовании течения в следе, как уже говорилось выше, применялись модели типа 2.1 и 3.1. Модель типа 2.1 с дифференциальным уравнением переноса  $\langle w'^2 \rangle$  позволила более детально описать поведение этой величины в зависимости от времени вырождения следа.

Сопоставление результатов расчетов с использованием моделей  $M_{31}$  и  $M_{32}$  показало, что они дают практически одинаковую динамику заглужения турбулентного слоя. Лишь вблизи поверхности жидкости распределения  $\langle w'^2 \rangle$  и  $\langle w'^2 \rangle / e$  заметно отличаются (влияние демпфирующей функции).

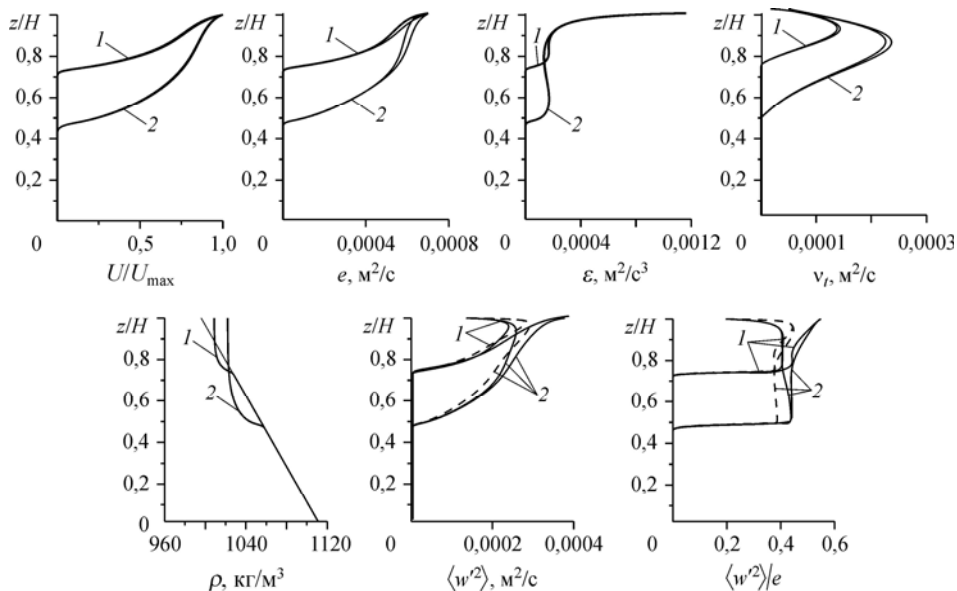


Рис. 2. Вертикальные распределения основных параметров на два момента времени, полученные с использованием модели  $M_{21}$  (тонкая сплошная линия),  $M_{22}$  (жирная сплошная линия) и  $M_{32}$  (пунктирная линия).

60 (1), 240 (2) с.

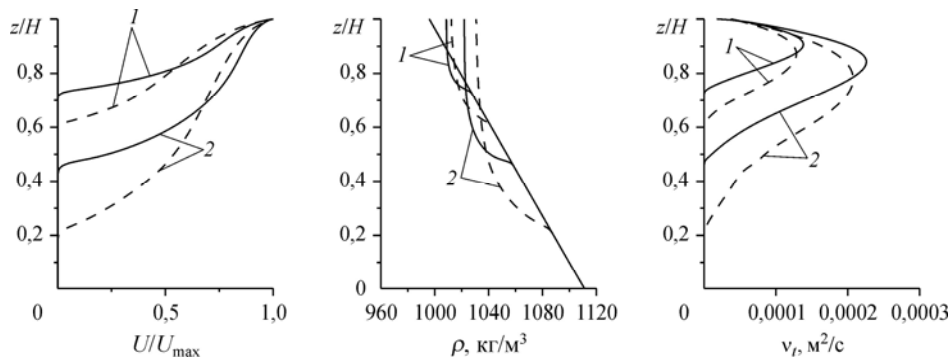


Рис. 3. Вертикальные распределения основных параметров течения по классической  $e-\epsilon$  модели (пунктирная линия) и модели 2.2 (сплошная линия). 60 (1), 240 (2) с.

Сравнение результатов расчетов, основанных на применении классической  $e-\epsilon$  модели (БМ<sub>1</sub>, БМ<sub>2</sub>) и усовершенствованных моделей 2.1, 2.2, 3.1, 3.2, позволяет сделать вывод о том, что распределения основных переменных, полученные с использованием  $e-\epsilon$  модели, существенно отличается от рассчитанных по остальным моделям (сравним рис. 1, 2). Дополнительно на рис. 3 приводятся вертикальные распределения этих переменных на разные моменты времени для условий II. Классическая  $e-\epsilon$  модель турбулентности, в которой  $\langle u'^2 \rangle = \langle v'^2 \rangle = \langle w'^2 \rangle = 2/3 e$ , дает значительно более выраженное турбулентное перемешивание (что отмечено также и в работе [20]).

Этот факт иллюстрируется и рис. 4, на котором представлена динамика безразмерной глубины перемешанного слоя  $h_1 = N_0 h / u^*$  в зависимости от безразмерного времени  $t_1 = N_0 t$ . Здесь  $N_0 = [-(g/\rho^*)(\partial \rho / \partial z)_{t=0}]^{1/2}$  — частота Вейселя–Брента,  $h$  — толщина перемешанного слоя,  $u^* = \sqrt{\tau_w / \rho^*}$ ,  $\rho^*$  — начальное значение плотности жидкости на поверхности. Толщина перемешанного слоя определялась следующим образом:  $h = H - z_h$ , где  $z_h$  — величина, удовлетворяющая условию  $U(t, z_h) = 0,02 U_{\max}(t)$ ,  $U_{\max}(t) = \max_z U(t, z)$ .

На рис. 4, а результаты расчетов сопоставляются с экспериментальными данными [24]. Как и следовало ожидать, классическая  $e-\epsilon$  модель дает заметно завышенные значения

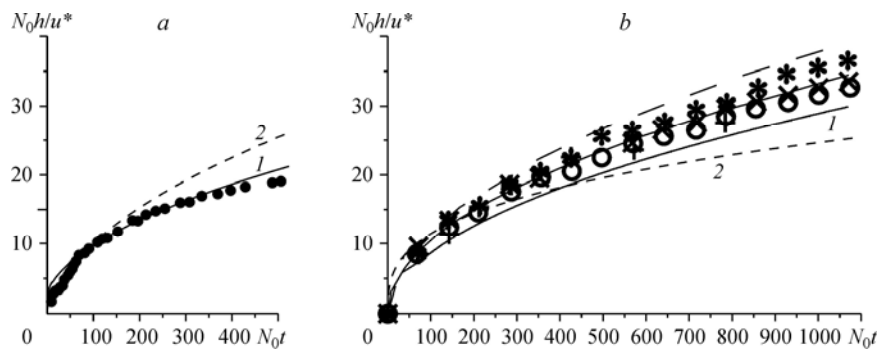


Рис. 4. Динамика заглупления перемешанного слоя.

а — расчет по модели 2.2 (1), расчет по классической модели (2), данные эксперимента [24] (символы); б — расчет по модели 2.2 (1), аппроксимация данных эксперимента [24] (2), данные из работы [17] (остальные кривые и символы).

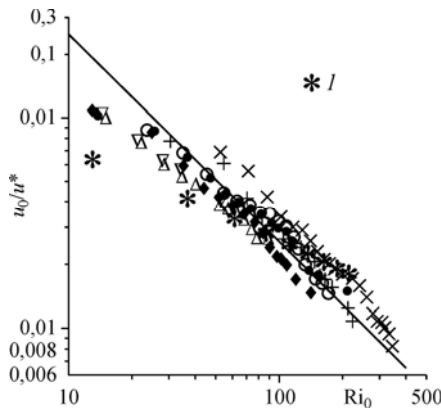


Рис. 5. Зависимость скорости заглупления перемешанного слоя от числа Ричардсона. 1 — результаты расчета по модели 2.2, прямая линия и остальные символы — данные из работы [24].

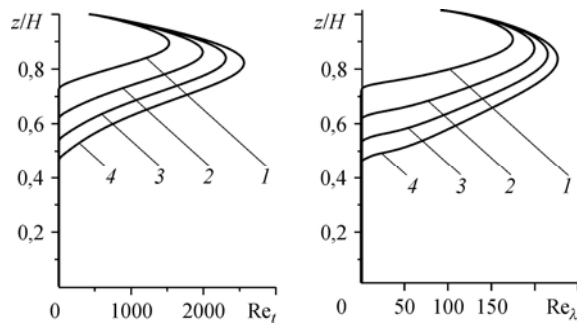


Рис. 6. Рассчитанные по модели 2.1 турбулентные числа Рейнольдса  $Re_t$  и  $Re_\lambda$  в условиях эксперимента [24] с условиями II. 60 (1), 120 (2), 180 (3), 240 (4) с.

глубины перемешанного слоя в сравнении с другими используемыми здесь моделями (которые дают практически совпадающие кривые), что согласуется с данными рис. 3. Тем не менее, и эти усовершенствованные модели (кривая 1) дают более интенсивное в сравнении с экспериментом расширение турбулентного слоя на больших временах (на это обстоятельство указано также в работе [8]). На рис. 4, б сопоставлены результаты расчетов, полученных в работе [17], с расчетами настоящей работы по усовершенствованной модели 2.2 варианта III (кривая 1). В [17] была предложена аппроксимация  $h_1(t) = 15^{1/3} N_0^{1/3} t^{1/3}$  экспериментальной зависимости [24], что дает возможность в условиях варианта III сопоставить расчетные данные с экспериментальной кривой. Результаты расчетов по модели настоящей работы лучше согласуются с аппроксимационной кривой при  $N_0 t > 300$ .

На рис. 5 показаны зависимости скорости заглупления турбулентного слоя  $u_0/u^*$ ,  $u_0 = \partial h / \partial t$  от числа Ричардсона  $Ri_0 = (\partial \rho / \partial z)_{t=0} h^2 / (2 \rho^* u^{*2})$  в численном расчете с использованием модели 2.2 и данные эксперимента [24]. Видно, что убывание скорости заглупления с ростом числа Ричардсона в численном расчете происходит медленнее, чем в эксперименте. Требуется дальнейшее совершенствование математической модели, что представляет задачу ближайших исследований.

На рис. 6 приведены вертикальные распределения турбулентных чисел Рейнольдса  $Re_t = e^2 / (v \varepsilon)$  и  $Re_\lambda = \lambda \sqrt{2e} / v$ ,  $\lambda = \sqrt{10 v e / \varepsilon}$ , которые свидетельствуют о том, что в значительной части области ненулевых турбулентных возмущений течение является развитым турбулентным течением ( $Re_\lambda \geq 100$ ).

### Заключение

В настоящей работе для описания процессов вертикального турбулентного обмена в устойчиво стратифицированном водоеме рассмотрены усовершенствованные математические модели второго порядка, основанные на алгебраических представлениях рейнольдсовых напряжений и потоков и использовании дифференциального уравнения переноса дисперсии флуктуаций вертикальной компоненты скорости  $\langle w'^2 \rangle$ . Выполнено

численное моделирование задачи о заглублинии турбулентного слоя перемешанной жидкости в линейно стратифицированной среде под действием постоянного касательного напряжения. Результаты расчетов хорошо согласуются с известными экспериментальными данными [24] и свидетельствуют о существенном влиянии анизотропии течения на его основные характеристики.

Авторы выражают благодарность О. Ф. Воропаевой, принимавшей активное участие в обсуждении постановки задачи.

### Список литературы

1. Монин А.С., Яглом А.М. Статистическая гидромеханика. Механика турбулентности. Ч. 1. М.: Наука, 1965. 639 с.
2. Кочергин В.П., Цветова Е.А., Сухоруков В.А. Моделирование процессов вертикальной турбулентной диффузии в океане // Численные методы расчета океанических течений. Новосибирск: ВЦ СО АН СССР, 1974. С. 129–152.
3. Кочергин В.П., Климок В.И., Сухоруков В.А. Однородный слой океана в рамках “дифференциальных” моделей // Числ. методы механики сплошной среды. Новосибирск: ВЦ СО АН СССР, 1977. Т. 8. № 5. С. 105–114.
4. Игнатова Г.Ш., Квон В.И. О модели турбулентного течения со скольжением на дне водотока // Метеорология и гидрология. 1977. № 8. С. 49–56.
5. Marchuk G.I., Kochergin V.P., Klimok V.I., Sukhorukov V.A. On the dynamics of the ocean surface mixed layer // J. Phys. Oceanography. 1977. Vol. 7. P. 865–875.
6. Зилитинкевич С.С., Реснянский Ю.Д., Чаликов Д.В. Теоретическое моделирование верхнего слоя океана // Итоги науки и техн. ВИНТИ. Сер. Механика жидкости и газа. 1978. Т. 12. С. 5–51.
7. Rodi W. Turbulence models and their application in hydraulics. A state of the art review. University of Karlsruhe, 1980. 104 p.
8. Левеллен В. Метод инвариантного моделирования // Турбулентность. Принципы и применения / Под ред. В. Колльмана; пер. с англ. М.: Мир, 1980. С. 262–310.
9. Mellor G.L., Yamada T. Development of a turbulence closure model for geophysical fluid problems // Reviews Geophysics and Space Physics. 1982. Vol. 20, No. 4. P. 851–875.
10. Роди В. Модели турбулентности окружающей среды // Методы расчета турбулентных течений / Под ред. В. Колльмана; пер. с англ. М.: Мир, 1984. С. 227–322.
11. Celik I., Rodi W. Simulation of free-surface effects in turbulent channel flows // Phys.-Chem. Hydrodynamics. 1984. Vol. 5, No. 3–4. P. 217–227.
12. Rodi W. Examples of calculation methods for flow and mixing stratified fluids // J. Geophys. Res. 1987. Vol. 92, No. C5. P. 5305–5328.
13. Vasiliev O.F., Dumnov S.V. Numerical modelling of flow in a river estuary // Proc. Technical Session B. XXII Congress IAHR. Lausanne, 1987. P. 83–87.
14. Курбацкий А.Ф. Моделирование нелокального переноса импульса и тепла. Новосибирск: Наука, Сиб. отделение, 1988. 240 с.
15. Sukhorukov V.A., Dmitriev N.V. Theory of the turbulent drift friction layer of the Ocean // J. Phys. Oceanography. 1990. Vol. 20, No. 8. P. 1137–1149.
16. Дмитриев Н.В. Математическое моделирование вертикального турбулентного обмена в верхнем слое океана / Под ред. Г.Г. Черных. Новосибирск: ВЦ СО РАН, 1993. 154 с.
17. Deleersnijer E., Luyten P. On the practical advantages of the quasi-equilibrium version of the Mellor and Yamada level 2, 5 turbulence closure applied to marine modelling // Appl. Math. Modelling. 1994. Vol. 18. P. 281–287.
18. Druzhinin O.A., Kazakov V.I., Matusov P.A., Ostrovsky L.A. The evolution of a thermocline effect by a turbulent stream // Nonlinear Processes in Geophysics. 1995. Vol. 2, No. 1. P. 49–57.
19. Илюшин Б.Б., Курбацкий А.Ф. Новые модели для вычисления моментов третьего порядка в пограничном планетарном слое // Изв. РАН. Физика атмосферы и океана. 1998. Т. 34, № 6. С. 772–781.
20. Зиновьев А.Е., Яковенко С.Н. Моделирование вертикального турбулентного обмена в пристенном стратифицированном течении // Прикладная механика и техническая физика. 1998. Т. 39, № 6. С. 57–64.
21. Курбацкий А.Ф. Введение в моделирование турбулентного переноса импульса и скаляра. Новосибирск: Гео, 2007. 331 с.

22. **Kantha L.** Modeling turbulent mixing in the global ocean: second moment closure models // *Turbulence: Theory, Types and Simulation*. Chapter 1. Nova Sci. Publishers, Inc., 2010. P. 1–68.
23. **Васильев О.Ф., Воропаева О.Ф., Курбацкий А.Ф.** Турбулентное перемешивание в устойчиво стратифицированных течениях окружающей среды: современное состояние проблемы (обзор) // *Изв. РАН. Физика атмосферы и океана*. 2011. Т. 47, № 3. С. 291–307.
24. **Kato Н., Phillips О.М.** On the penetration of a turbulent layer into stratified fluid // *J. Fluid Mech.* 1969. Vol. 37, part 4. P. 643–655.
25. **Филлипс О.М.** Динамика верхнего слоя океана. Л.: Гидрометеоиздат, 1980. 319 с.
26. **Линейкин П.С., Мадерич В.С.** Теория океанического термоклина. Л.: Гидрометеоиздат, 1982. 271 с.
27. **Vasiliev O.F., Kuznetsov V.G., Lytkin Yu.M., Chernykh G.G.** Development of the turbulent mixing zone in a stratified medium // *Proc. of the Int. Seminar "Heat Transfer and Turbulent Buoyant Convection"*, Dubrovnik, Yugoslavia, August 30 – September 4, 1976. Washington: Hemisphere Publ. Corp., 1976. Vol. 2. P. 123–136.
28. **Chernykh G.G., Voropaeva O.F.** Numerical modelling of momentumless turbulent wake dynamics in a linearly stratified medium // *Computers and Fluids*. 1999. Vol. 28, No 3. P. 281–306.
29. **Тихонов А.Н., Самарский А.А.** Уравнения математической физики. М.: Наука, 1977. 735 с.

*Статья поступила в редакцию 9 апреля 2012 г.*